

# 汽轮机叶轮的 强度计算

苏联 И. Н. 布迪卡著

吳全 陈潛 聶运新譯

电力工业出版社

## 內容 提 要

本書研究汽輪機內各種截面的葉輪的強度計算問題，如等厚度葉輪、椎形葉輪以及其他形狀截面的葉輪等。書中所介紹的各種不同計算方法都附有例題以進一步說明。

本書供汽輪機製造廠和發電廠的工程技術人員閱讀，也可供高等工業學校和中等專業學校的學生參考。

И.Н.БУДЫКА

РАСЧЕТ ДИСКОВ ПАРОВЫХ ТУРБИН НА ПРОЧНОСТЬ

МАШГИЗ МОСКВА 1956

## 汽輪機葉輪的強度計算

根據蘇聯國立機器製造書籍出版社1956年莫斯科版翻譯

吳全 陳潛 翁運新譯

\*

769R202

電力工業出版社出版(北京西郊科學路二裏溝)

北京市書刊出版發售許可證字第082號

北京市印刷一廠排印 新華書店發行

\*

787×1092 $\frac{1}{16}$ 開本 \* 5 $\frac{3}{4}$ 印張 \* 124千字

1958年4月北京第1版

1958年4月北京第1次印刷(0001—1,800冊)

統一書號：15036·657 定價(第10類)0.80元

## 前　　言

研究汽輪机叶輪的計算問題的著作很多。

但雜誌上的文章一般只敘述叶輪計算某一方面的問題，同時由於過於緊縮，因而不是經常能為廣大讀者所了解。

在論述汽輪机的主要著作中，叶輪計算問題所佔的篇幅一般都很少，同時在敘述這一問題時，一般都很精簡而且要借用一些補充資料。因此就提出一個要求，要為廣大讀者編著一本專論汽輪机叶輪計算的單行本書籍。在這本書內用通俗的形式來介紹汽輪机叶輪計算的理論，計算的實際方法，還要用例題來多方面說明。

本書介紹任意截面及等厚度叶輪的基本方程式，敘述各種不同截面叶輪計算的實用方法。計算時採用了計算表格，因為採用這些表格可以加速計算，並且能使計算者在計算過程中對自己的計算進行核對。為了加速計算起見，本書附錄內列有計算等厚度和錐形叶輪時所採用的表格。

對於叶輪在塑性變形中的計算問題，以及熱應力和在叶輪中應力集中問題等本書並未述及。因為這些問題部分尚處於研究階段中，在實用計算中尚不能利用。

本書具有實用手冊性質，可作為工廠工程技術人員的參考書，也可作為高等工業學校及中等技校學生的參考書。

編制本書所採用的參考資料已列入參考文獻目錄內。

作者對列寧格勒斯大林金屬工廠的總設計師，工學博士 M. I. 格林別爾格教授為本書原稿提示的寶貴意見，表示衷心的感謝。

作　　者

## 目 次

前言	
概論	4
<b>第一章 任意截面及等厚度叶輪的基本方程式</b>	<b>6</b>
1. 任意截面叶輪的方程式	6
2. 等厚度叶輪的方程式	10
3. 等厚度的轉环	12
4. 自由旋转的薄环	13
5. 举例	15
<b>第二章 等厚度叶輪的計算</b>	<b>17</b>
6. 等厚度叶輪的帶有系数的应力公式	17
7. 連接条件	22
8. 等厚度叶輪用系数計算公式的計算举例	24
9. 用与 $\frac{x}{r_1}$ 有关的表格系数計算的等厚度叶輪应力的公式	27
10. 用与 $\frac{x}{r_1}$ 比值有关的表格系数的公式計算等厚度叶輪的举例	31
11. 用与 $\frac{x}{r_2}$ 比值有关的表格系数計算的等厚度叶輪应力的公式	35
12. 用带有与 $\frac{x}{r_2}$ 比值有关的表格系数的公式計算等厚度叶輪的举例	38
13. 用兩次計算法來計算等厚度叶輪	42
14. 用兩次計算的方法計算等厚度叶輪的举例	44
<b>第三章 錐形叶輪的計算</b>	<b>52</b>
15. 錐形叶輪計算的基本公式	52
16. 錐形叶輪計算举例	54
17. 用兩次計算的方法來計算錐形叶輪的举例	59
<b>第四章 各种截面叶輪的計算的个别情况</b>	<b>64</b>
18. 組合錐形叶輪	64
19. 組合錐形叶輪計算举例	66
20. 組合錐形叶輪用兩次計算法的計算举例	71

21. 整体鑄造的轉子叶輪的計算 .....	76
22. 用兩次計算的方法計算任意截面的叶輪 .....	80
23. 用兩次計算的方法計算任意截面叶輪的舉例 .....	81
24. 無中心孔叶輪的計算 .....	88
<b>第五章 某些任意截面的叶輪 .....</b>	<b>93</b>
25. 等强度叶輪的基本公式 .....	93
26. 等强度叶輪的計算舉例 .....	95
27. 双曲綫形截面叶輪 .....	96
<b>第六章 叶輪輪緣。叶輪在向輪緣过渡处的徑向应力。叶輪在軸 上的配合。叶輪的重量。叶輪的材料 .....</b>	<b>99</b>
28. 叶輪輪緣的計算 .....	99
29. 叶輪向輪緣过渡处叶輪體中徑向应力的確定 .....	101
30. 叶輪在汽輪机軸上的配合 .....	107
31. 叶輪重量的計算 .....	117
32. 叶輪的材料 .....	121
<b>附录 I 計算等厚度叶輪用的根据 <math>\frac{x}{r_1}</math> 的 <math>k_1 \sim k_5</math> 系数值 .....</b>	<b>129</b>
<b>附录 II 計算等厚度叶輪用的根据 <math>\frac{x}{r_2}</math> 的 <math>\beta_1 \sim \beta_3'</math> 系数值 .....</b>	<b>133</b>
<b>附录 III 計算錐形叶輪的系数表 .....</b>	<b>135</b>
<b>参考文献 .....</b>	<b>139</b>

## 概論

作用于工作叶片上的蒸汽流的能量，依靠叶輪傳給汽輪机的主軸。叶輪与主軸有各种不同的联結方法。最广泛采用的是將叶輪用热套的方法固紧在主軸上。

叶輪是各种不同形狀截面的对称旋轉体。对称面是垂直于汽輪机軸的叶輪中間面。在固定式汽輪机上，等厚度的、錐形的及双曲綫形的叶輪最为普遍。

当工作时，叶輪由于本身質量及周圍叶片等的离心力，以及由于在热态下將叶輪套合在軸上时，在輪轂的內表面所产生的紧固力而受应力及变形。

汽輪机一般是在高轉速下运行的。固定式汽輪發电机的轉速为3000轉/分。在个别情况下，汽輪机可以有更高的轉速，在这种情况下汽輪机与發电机是利用減速器来連接的。在运行中，当卸去負荷时，汽輪机的轉速就迅速增高。按技术条件規定，汽輪机的安全調速器要保証能在超过工作轉速10—12%时动作。

汽輪机叶輪是在各种不同蒸汽温度的条件下工作的。高压部分前几級的叶輪当汽輪机为滿負荷时，其工作温度接近于蒸汽的初温。汽輪机各級的蒸汽温度視工况而变更。当汽輪机在稳定工况时，叶輪本身温度隨叶輪截面而不同。在汽輪机低压部分的各級內，蒸汽温度較低，因而对叶輪的工作就沒有影响。在低压部分各級內，叶輪由于工作叶片尺寸的迅速增大而受到强烈負荷。

也必須指出，对于厚度較小的叶輪來說，軸向振动由于会使叶輪發生各种类型的撓度，因而具有很重要的意义。

上述叶輪工作条件，是决定汽輪机轉子構造的重要因素。

当蒸汽参数  $P_0=35$  絶對大气压以下及  $t_0=435^{\circ}\text{C}$  以下时，在苏联的汽輪机制造業中，一般都采用套合叶輪的轉子。在所述蒸汽参数

下，温度条件允許第一級叶輪也用套合固紧。必須指出，在大多数的汽輪机中，第一級叶輪为有兩排工作叶片及巨型輪緣的調節級叶輪，这些叶輪受有極大負荷，因而用适当的合金鋼制造。

当高压蒸汽参数  $P_0=90$  絶对大气压， $t_0=500^{\circ}\text{C}$  以及更高时，按照高温条件，在高压部分不能采用套合固紧的叶輪。高压的和大容量的汽輪机，在苏联汽輪机制造業中采用联合轉子。在高压部分工作叶輪与主軸組成一个整体。其他各級叶輪用套合固紧，因此轉子是一个整体鍛成的，而且具有套合固紧的叶輪。整体鍛制部分和叶輪用合金鋼制造。此种轉子成本較高，只有在高温条件下工作时才采用这种轉子。

大容量汽輪机低压部分的叶輪受有高度負荷，并且具有巨大的尺寸，因而用合金鋼制造。

# 第一章 任意截面及等厚度叶輪的基本方程式

## 1. 任意截面叶輪的方程式

汽輪机的叶輪在旋转时，受着由于本身質量及叶片質量离心力所产生的，以及叶輪热套在軸上时在輪轂內表面上由于公盈所产生的应力和变形。

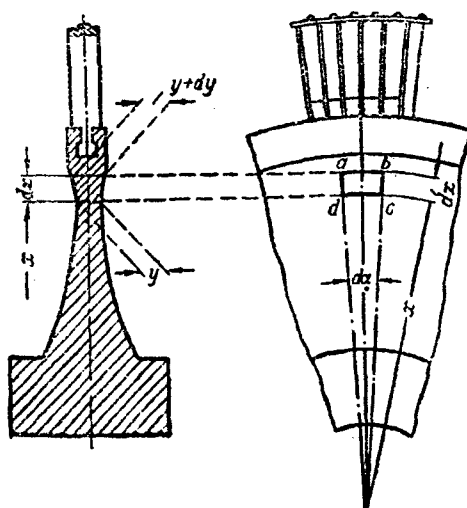


圖 1 任意截面的叶輪

在  $x+dx$  处厚度为  $y+dy$ 。

当叶輪旋转时，在單元体的各边缘面上产生应力：在两个径向面上受有切向应力  $\sigma_t$ ，在圆柱面上受有径向应力  $\sigma_r$ 。切向应力的方向与径向边缘面相垂直的圆周相切。径向应力沿半径方向垂直于單元体的圆柱面。

已知單元体的径向及圆周面的面积，以及作用在这些面上的应力，就可以测定作用于單元体表面上的力。圖 2 所示即我們所觀察的單元体。在径向截面  $aa_1d_1d$  及  $bb_1c_1c$  的面上所作用的力为  $dP$ ，而在

試看任意截面的旋轉叶輪，它对垂直于主軸軸心的中間平面是对称的(圖 1)。設应力沿叶輪厚度作平匀的分佈。在离旋轉軸心  $x$  距离处在叶輪內切取  $abcd$  一單元体。这單元体的边缘，由經過叶輪旋轉軸彼此相互成  $da$  角的两个徑向面，和半徑为  $x$  及  $x+dx$  所組成的两个圓柱面以及叶輪的两个側面而形成的。單元体的厚度等于叶輪的厚度；在距离旋轉軸心  $x$  的地方，厚度为

圓柱截面  $dd_1c_1c$  及  $aa_1b_1b$  上所作用的力相應為  $dR$  及  $dR'$ 。

單元體的離心力  $dC$  位於單元體的重心。力  $dC$  及  $dR'$  沿半徑由葉輪中心指向周邊，力  $dR$  沿半徑指向中心。單元體質量的離心力以及沿單元體各邊緣面上的力相互平衡。

圖 3 所示為這些力的圖解。這些力投影在經過單元體重心的半徑上的

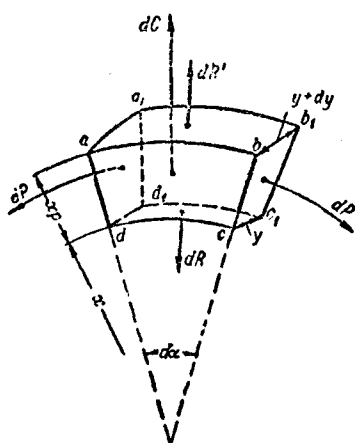


圖 2 旋轉葉輪單元體上所作用的力

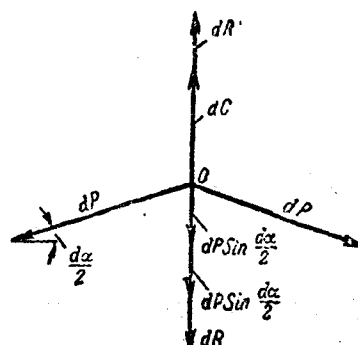


圖 3 旋轉葉輪單元體上力的圖解

總和等於零。投影在徑向的力  $dP$  指向中心。

設由中心發出的力為正，由相反方向發出的為負，則得：

$$dC + dR' - dR - 2dP \sin \frac{\alpha}{2} = 0. \quad (1-1)$$

分析方程式(1-1)內的各力：

$$dC = dm x \omega^2.$$

式中  $dm$ ——單元體的質量，等於單元體體積  $dv$  乘以  $\frac{\gamma}{g}$ ，其中：

$\gamma$ ——材料的比重；

$g$ ——重力加速度；

$\omega$ ——旋轉角速度。

依照圖 2 內所採用的符號，得：

$$dm = dv \frac{\gamma}{g} = x da y dx \frac{\gamma}{g};$$

$$dC = \frac{\gamma \omega^2}{g} y dx^2 dy.$$

力  $dR$  等于徑向应力  $\sigma_r$  乘以面积  $dd_1c_1c$ ,

$$dR = \sigma_r x dy,$$

力  $dR'$  等于徑向应力  $\sigma_r + d\sigma_r$  乘以面积  $aa_1b_1b$ ,

$$dR' = (\sigma_r + d\sigma_r)(x + dx) da(y + dy),$$

力  $dP$  等于切向应力  $\sigma_t$  乘以面积  $aa_1d_1d$  或与其相等的面积  $bb_1c_1c$ ,

$$dP = \sigma_t y dx.$$

由于角  $d\alpha$  极小, 正弦值可以用弧度来代替:

$$\sin \frac{d\alpha}{2} \approx \frac{d\alpha}{2}.$$

将所得的各项代入方程式(1-1), 演变后得:

$$\frac{\gamma \omega^2}{g} y x^2 + \sigma_r \left( y + x \frac{dy}{dx} \right) + xy \frac{d\sigma_r}{dx} - \sigma_t y = 0. \quad (1-2)$$

試求出应力  $\sigma_r$  和  $\sigma_t$  与变形数值間的关系。此項延伸率及应力間的关系可用虎克定律表示如下①:

$$\varepsilon_r = \frac{\sigma_r - \mu \sigma_t}{E}, \quad (1-3)$$

$$\varepsilon_t = \frac{\sigma_t - \mu \sigma_r}{E}, \quad (1-4)$$

式中  $\varepsilon$  和  $\varepsilon_t$  ——徑向与切向的延伸率;

$\mu$  ——波柔系数;

$E$  ——叶輪材料的标准彈性模数。

由(1-3)及(1-4)兩式得:

$$\sigma_r = \frac{E}{1 - \mu^2} (\varepsilon_r + \mu \varepsilon_t), \quad (1-5)$$

$$\sigma_t = \frac{E}{1 - \mu^2} (\varepsilon_t + \mu \varepsilon_r). \quad (1-6)$$

求出半徑  $x$  圆柱表面上延伸率  $\varepsilon_r$  和  $\varepsilon_t$  与徑向位移  $u$  的关系(圖

① 此时假定第三主应力(輪向)不存在。

1)。

半徑為  $x$  的圓柱表面上圓周長度在變形之前為  $2\pi x$ ; 變形之後此項圓周的長度將為  $2\pi(x+\xi)$ 。而切向延伸率為:

$$\varepsilon_t = \frac{2\pi(x+\xi) - 2\pi x}{2\pi x} = \frac{\xi}{x}. \quad (1-7)$$

在變形前，經過單元體  $d$  和  $c$  點的圓柱面的半徑等於  $x$  (圖 1); 在變形後，此項半徑在徑向所增加的數值為  $\xi$ ，因而成為  $x+\xi$ 。

在變形前，經過單元體  $a$  和  $b$  點的圓柱面的半徑等於  $x+dx$ ; 在變形後，此項半徑成為  $x+\xi+dx+\frac{d\xi}{dx}dx$ 。

在變形前，所割取單元體在徑向的高度為  $dx$ ，而在變形後其高度為  $dx_0$ ，

$$dx_0 = \left( x + \xi + dx + \frac{d\xi}{dx}dx \right) - (x + \xi) = dx + \frac{d\xi}{dx}dx.$$

單元體的徑向延伸率:

$$\varepsilon_r = \frac{dx_0 - dx}{dx} = \frac{dx + \frac{d\xi}{dx}dx - dx}{dx} = \frac{d\xi}{dx}. \quad (1-8)$$

將方程式 (1-7) 及 (1-8) 中延伸率  $\varepsilon_r$  及  $\varepsilon_t$  的值代入式 (1-5) 及 (1-6)，得：

$$\sigma_r = \frac{E}{1-\mu^2} \left( \frac{d\xi}{dx} + \mu \frac{\xi}{x} \right), \quad (1-9)$$

$$\sigma_t = \frac{E}{1-\mu^2} \left( \frac{\xi}{x} + \mu \frac{d\xi}{dx} \right). \quad (1-10)$$

由式 (1-9) 求得導數  $\frac{d\sigma_r}{dx}$ ，

$$\frac{d\sigma_r}{dx} = \frac{E}{1-\mu^2} \frac{d}{dx} \left( \frac{d\xi}{dx} + \mu \frac{\xi}{x} \right). \quad (1-11)$$

或

$$\frac{d\sigma_r}{dx} = \frac{E}{1-\mu^2} \left( \frac{d^2\xi}{dx^2} + \frac{\mu}{x} \frac{d\xi}{dx} - \mu \frac{\xi}{x^2} \right). \quad (1-12)$$

將(1-9),(1-10)及(1-12)各式中  $\sigma_r$ ,  $\sigma_t$  及  $\frac{d\sigma_r}{dx}$  的值代入方程式  
(1-2)整理后得:

$$\begin{aligned} \frac{d^2\xi}{dx^2} + \left( \frac{d \ln y}{dx} + \frac{1}{x} \right) \frac{d\xi}{dx} + \left( \frac{\mu}{x} - \frac{d \ln y}{dx} - \frac{1}{x^2} \right) \xi \\ + \frac{\gamma \omega^2}{g} \frac{(1-\mu^2)}{E} x = 0. \end{aligned} \quad (1-13)$$

方程式(1-13)是計算旋轉葉輪強度的基本方程式。

再求葉輪應力  $\sigma_r$  和  $\sigma_t$  之間的關係。

由式(1-9)減去式(1-10), 得:

$$(\sigma_r - \sigma_t)(1+\mu) = E \left( \frac{d\xi}{dx} - \frac{\xi}{x} \right). \quad (a)$$

由公式(1-10)求得導數  $\frac{d\sigma_t}{dx}$ :

$$\frac{d\sigma_t}{dx} = \frac{E}{1-\mu^2} \left( \mu \frac{d^2\xi}{dx^2} + \frac{1}{x} \frac{d\xi}{dx} - \frac{\xi}{x^2} \right). \quad (6)$$

將式(1-12)兩邊都乘以  $\mu$ , 得:

$$\mu \frac{d\sigma_r}{dx} = \frac{E}{1-\mu^2} \left( \mu \frac{d^2\xi}{dx^2} + \frac{\mu^2}{x} \frac{d\xi}{dx} - \mu^2 \frac{\xi}{x^2} \right). \quad (b)$$

將式(6)減去式(b)得:

$$\left( \frac{d\sigma_t}{dx} - \mu \frac{d\sigma_r}{dx} \right) v = E \left( \frac{d\xi}{dx} - \frac{\xi}{x} \right). \quad (r)$$

由(a)和(r)二式得:

$$\frac{d\sigma_t}{dx} - \mu \frac{d\sigma_r}{dx} = (1+\mu) \frac{\sigma_r - \sigma_t}{x}.$$

所得的方程式指出, 應力  $\sigma_r$  和  $\sigma_t$  之間有相互關係。如果給定一個應力為  $x$  的函數, 則照此最後方程式可以求得其他一個應力。

## 2. 等厚度葉輪的方程式

保持葉輪在徑向等厚度, 就可由任意截面葉輪得到等厚度的葉輪。

將方程式(1-13)用于等厚度的葉輪, 因此假定在此方程式內葉輪厚度  $y$  等於常數  $b$ , 得:

$$\frac{d^2\xi}{dx^2} + \frac{1}{x} \frac{d\xi}{dx} - \frac{\xi}{x^2} + \frac{\gamma\omega^2}{g} \frac{(1-\mu^2)}{E} x = 0. \quad (a)$$

为了简单起见，设：

$$\frac{\gamma\omega^2}{g} \times \frac{(1-\mu^2)}{E} = A. \quad (1-14)$$

式(a)的前三项可以写成下列形式：

$$\frac{d^2\xi}{dx^2} + \frac{1}{x} \frac{d\xi}{dx} - \frac{\xi}{x^2} = \frac{d}{dx} \left[ \frac{1}{x} \frac{d}{dx} (\xi x) \right].$$

将方程式(a)重写如下：

$$\frac{d}{dx} \left[ \frac{1}{x} \frac{d}{dx} (\xi x) \right] + Ax = 0.$$

将此方程式予以积分，得：

$$\frac{1}{x} \frac{d}{dx} (\xi x) = -\frac{A}{2} x^2 + 2C_1$$

或

$$\frac{d}{dx} (\xi x) = -\frac{A}{2} x^3 + 2C_1 x.$$

前式予以积分后，得：

$$\xi x = -\frac{A}{8} x^4 + C_1 x^2 + C_2,$$

由此

$$\xi = -\frac{A}{8} x^3 + C_1 x + \frac{C_2}{x}. \quad (1-15)$$

利用方程式(1-15)，组成  $\frac{d\xi}{dx}$  及  $\frac{\xi}{x}$  两式：

$$\frac{d\xi}{dx} = -\frac{3}{8} Ax^2 + C_1 - \frac{C_2}{x^2},$$

$$\frac{\xi}{x} = -\frac{A}{8} x^3 + C_1 + \frac{C_2}{x^2}.$$

将  $\frac{d\xi}{dx}$  及  $\frac{\xi}{x}$  的值代入方程式(1-9)和(1-10)，整理后得：

$$\sigma_r = \frac{E}{1-\mu^2} \left[ -(3+\mu) \frac{A}{8} x^2 + (1+\mu) C_1 - (1-\mu) \frac{C_2}{x^2} \right], \quad (1-16)$$

$$\sigma_t = \frac{E}{1-\mu^2} \left[ -(1+3\mu) \frac{A}{8} x^2 + (1+\mu) C_1 + (1-\mu) \frac{C_2}{x^2} \right]. \quad (1-17)$$

所得的兩式(1-16)和(1-17)是等厚度葉輪的基本方程式。在此方程式內隨意常數  $C_1$  和  $C_2$  以邊界條件來決定。

### 3. 等厚度的轉環

今研究中間具有孔的等厚度轉環，如圖 4 所示。

假定此項轉環不承受外部負荷，同時轉環套在軸上並無緊固力。在轉環內受有本身質量的離心力而產生應力。為了測定這些應力，可利用方程式(1-16)和(1-17)。隨意常數  $C_1$  和  $C_2$  由下述邊界條件決定：在半徑為  $r_1$  的轉環內孔上及在半徑  $r_2$  轉環外圓柱面上的徑向應力  $\sigma_r$  等於零。

將方程式(1-16)用在此兩個表面上，得到具有未知數  $C_1$  和  $C_2$  的兩個方程式。

第一個方程式，設  $x=r_1$  及  $\sigma_r=0$

$$\frac{E}{1-\mu^2} \left[ -(3+\mu) \frac{A}{8} r_1^2 + (1+\mu) C_1 - (1-\mu) \frac{C_2}{r_1^2} \right] = 0.$$

第二個方程式，設  $x=r_2$  及  $\sigma_r=0$

$$\frac{E}{1-\mu^2} \left[ -(3+\mu) \frac{A}{8} r_2^2 + (1+\mu) C_1 - (1-\mu) \frac{C_2}{r_2^2} \right] = 0.$$

由這些公式中求得  $C_1$  和  $C_2$  的值：

$$C_1 = \frac{3+\mu}{1+\mu} \frac{A}{8} (r_1^2 + r_2^2),$$

$$C_2 = \frac{3+\mu}{1-\mu} \frac{A}{8} r_1^2 r_2^2.$$

將  $C_1$  和  $C_2$  的值及式(1-14)內的  $A$  值代入方程式(1-16)及(1-17)，得：

$$\sigma_r = \frac{\gamma \omega^2}{g} \frac{3+\mu}{8} \left( r_1^2 + r_2^2 - \frac{r_1^2 r_2^2}{x^2} - x^2 \right), \quad (1-18)$$

$$\sigma_t = \frac{\gamma \omega^2}{g} \frac{3+\mu}{8} \left( r_1^2 + r_2^2 + \frac{r_1^2 r_2^2}{x^2} - \frac{1+3\mu}{3+\mu} x^2 \right). \quad (1-19)$$

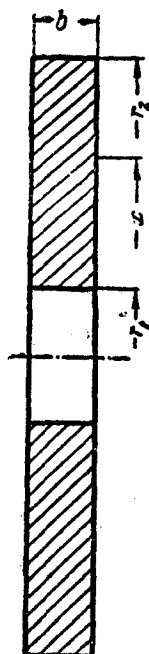


圖 4 等厚度的轉環圖

今对于鋼質叶輪写出方程式(1-18)及(1-19)，以每分鐘轉數  $n$  代  $\omega$ ， $\gamma=0.00785$  公斤/公分<sup>3</sup>； $\mu=0.3$ ； $\omega=\frac{\pi n}{30}$ ；

$$\sigma_r = 3.62 \times 10^{-8} n^2 \left( r_1^2 + r_2^2 - \frac{r_1^2 r_2^2}{x^2} - x^2 \right), \quad (1-20)$$

$$\sigma_t = 3.62 \times 10^{-8} n^2 \left( r_1^2 + r_2^2 + \frac{r_1^2 r_2^2}{x^2} - 0.575 x^2 \right). \quad (1-21)$$

当  $r_1=0$  时，轉环即成为無中心孔的叶輪，对于鋼質实心叶輪，則式(1-20)及(1-21)成为下列形式：

$$\sigma_r = 3.62 \times 10^{-8} n^2 (r_2^2 - x^2), \quad (1-22)$$

$$\sigma_t = 3.62 \times 10^{-8} n^2 (r_2^2 - 0.575 x^2). \quad (1-23)$$

在鋼質实心叶輪中心处的应力可將  $x=0$  代入方程式(1-22)和(1-23)而得出。要知道，在实心叶輪中心处的徑向应力和切向应力相等。

$$\sigma_{r0} = \sigma_{t0} = 3.62 \times 10^{-8} n^2 r_2^2. \quad (1-24)$$

实心叶輪中在半徑  $r_2$  的外圓柱面上的切向应力值，可由方程式(1-23)在  $x=r_2$  情况下得出：

$$\sigma_{t2} = 0.425 \times 3.62 \times 10^{-8} n^2 r_2^2 = 0.425 \sigma_{t0}. \quad (1-25)$$

因此，对于实心叶輪來說，在外圓柱面上的切向应力  $\sigma_{t2}$  为中  
心处应力的 42.5%。

茲再回到研究中間具有孔眼的等厚度轉环，按照公式(1-21)并代入  $x=r_1$ ，得到在內孔表面上所受的切向应力为：

$$\sigma_{t1} = 3.62 \times 10^{-8} n^2 (2r_2^2 + 0.425 r_1^2). \quad (1-26)$$

將式(1-26)与(1-24)予以比較，就可以觀察到：如果在实心叶輪內鑽一半徑  $r_1$  的不大的孔，則在內孔表面上的切向应力  $\sigma_{t1}$  就高于中心处的应力  $\sigma_{t0}$  一倍。

#### 4. 自由旋轉的薄环

繞自己的中央軸心自由旋轉的薄环，是等厚度轉环的一种特殊形式。此种轉环如圖 5 所示。当环旋轉时，由于轉环質量的离心力作用，其中产生徑向的和切向的应力。由于轉环厚度  $\delta$  不大，徑向应力

可以略去不計，一般就只要測定切向应力，此項應力是沿轉環厚度均勻地分佈着的。

在轉環上  $d\alpha$  角度的界限內試切取一單元體。單元體的離心力為：

$$dC = dm r \omega^2$$

單元體質量：

$$dm = \delta \cdot br d\alpha \frac{\gamma}{g},$$

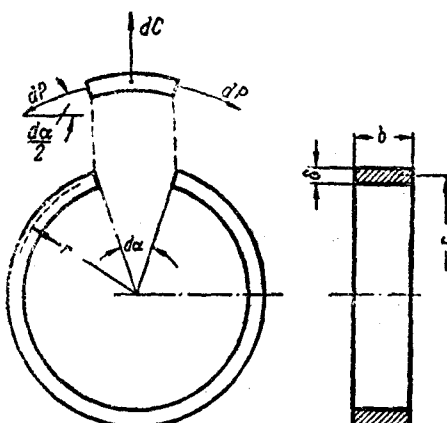


圖 5 自由旋轉的薄環圖

$$\text{及 } dC = \frac{\gamma \omega^2}{g} \delta \cdot br^2 d\alpha,$$

式中  $\gamma$ ——比重；  
 $\omega$ ——角速度。

在轉環徑向截面內產生的力：

$$dP = \sigma_u \delta b.$$

式中  $\sigma_u$ ——所求的薄轉環內的應力。

此力在徑向的投影為：

$$dP_1 = \sigma_u \delta b \sin \frac{d\alpha}{2}.$$

由於角度小，可寫為：

$$\sin \frac{d\alpha}{2} \approx \frac{d\alpha}{2} \text{ 及}$$

$$dP_1 = \sigma_u \delta b \frac{d\alpha}{2}.$$

由平衡定律得：

$$dC = 2dP_1$$

$$\text{或 } \frac{\gamma \omega^2}{g} \delta \cdot br^2 d\alpha = 2\sigma_u \delta b \frac{d\alpha}{2},$$

由此

$$\sigma_u = \frac{\gamma \omega^2}{g} r^2. \quad (1-27)$$

採用鋼質薄環，並將  $\sigma_u$  值以每分鐘轉數  $n$  表示之。

在式(1-27)內代入  $\sigma = \frac{\pi n}{30}$ ,  $\gamma = 0.00785$  公斤/公分<sup>3</sup>,  $g = 981$  公分/秒<sup>2</sup>, 得:

$$\sigma_u = 8.77 \times 10^{-8} n^2 r^2 \text{ 公斤/公分}^2, \quad (1-28)$$

采用鋼質薄環, 并將  $\sigma_u$  值以圓周速度  $n$  表示之。在式(1-27)內代入  $\omega r = n$  及同样的  $\gamma$  和  $g$  的值, 得:

$$\sigma_u = 0.08 u^2 \text{ 公斤/公分}^2. \quad (1-29)$$

在所得的式(1-29)中, 其圓周速度  $u$  系以公尺/秒計。

由公式(1-29)可以明了, 在薄環內、在給定的材料條件下其應力僅與圓周速度有關。

在薄環內各種不同圓周速度的應力  $\sigma_u$  的值列于表 1。

鋼質薄轉環內的應力與圓周速度關係表

表 1

$u$ 公尺/秒	25	50	75	110	125	150
$\sigma_u$ 公斤/公分 <sup>2</sup>	50	200	450	800	1250	1800
$u$ 公尺/秒	175	200	225	250	275	300
$\sigma_u$ 公斤/公分 <sup>2</sup>	2450	3200	4050	5000	6050	7200

## 5. 例

現在列舉兩個無外力負荷的等厚度轉環內及實心葉輪內的應力的例子, 自由旋轉速度為 3000 轉/分。利用公式(1-20)和(1-21)。當

$\sigma_r$ ,  $\sigma_t$  和  $\sigma_u$  的值

表 2

$x$ 公分	$r_1^2$	$r_2^2$	$\frac{r_1^2 - r_2^2}{x^2}$	$x^2$	$0.575 r^2$	$\sigma_r$ 公斤/公分 <sup>2</sup>	$\sigma_t$ 公斤/公分 <sup>2</sup>	$\sigma_u$ 公斤/公分 <sup>2</sup>
10	100	2500	2500	100	57.5	0	1630	78.9
20	100	2500	625	400	230	510	970	316
30	100	2500	280	900	515	463	765	710
40	100	2500	156	1600	920	270	590	1260
50	100	2500	100	2500	1430	0	420	1965